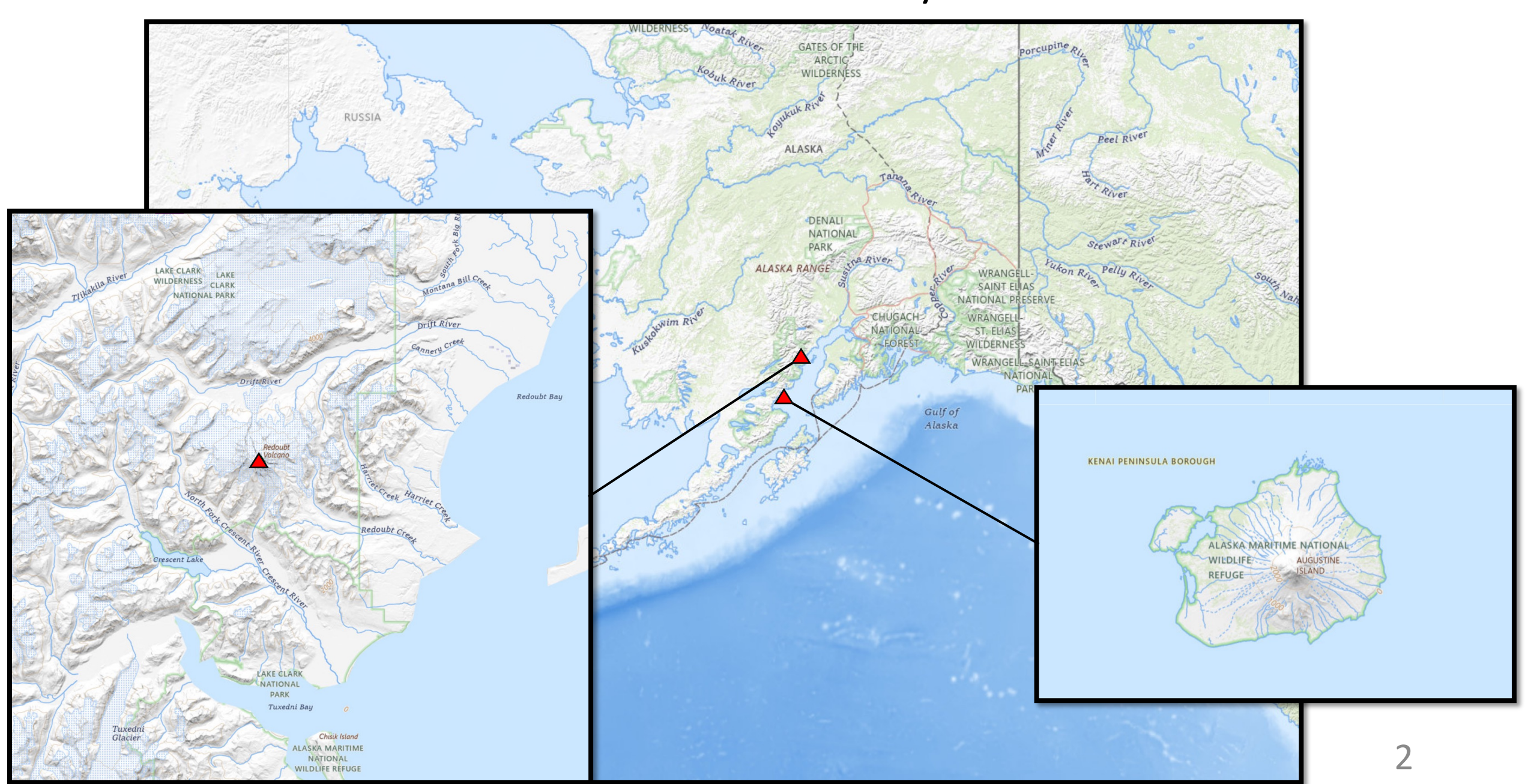
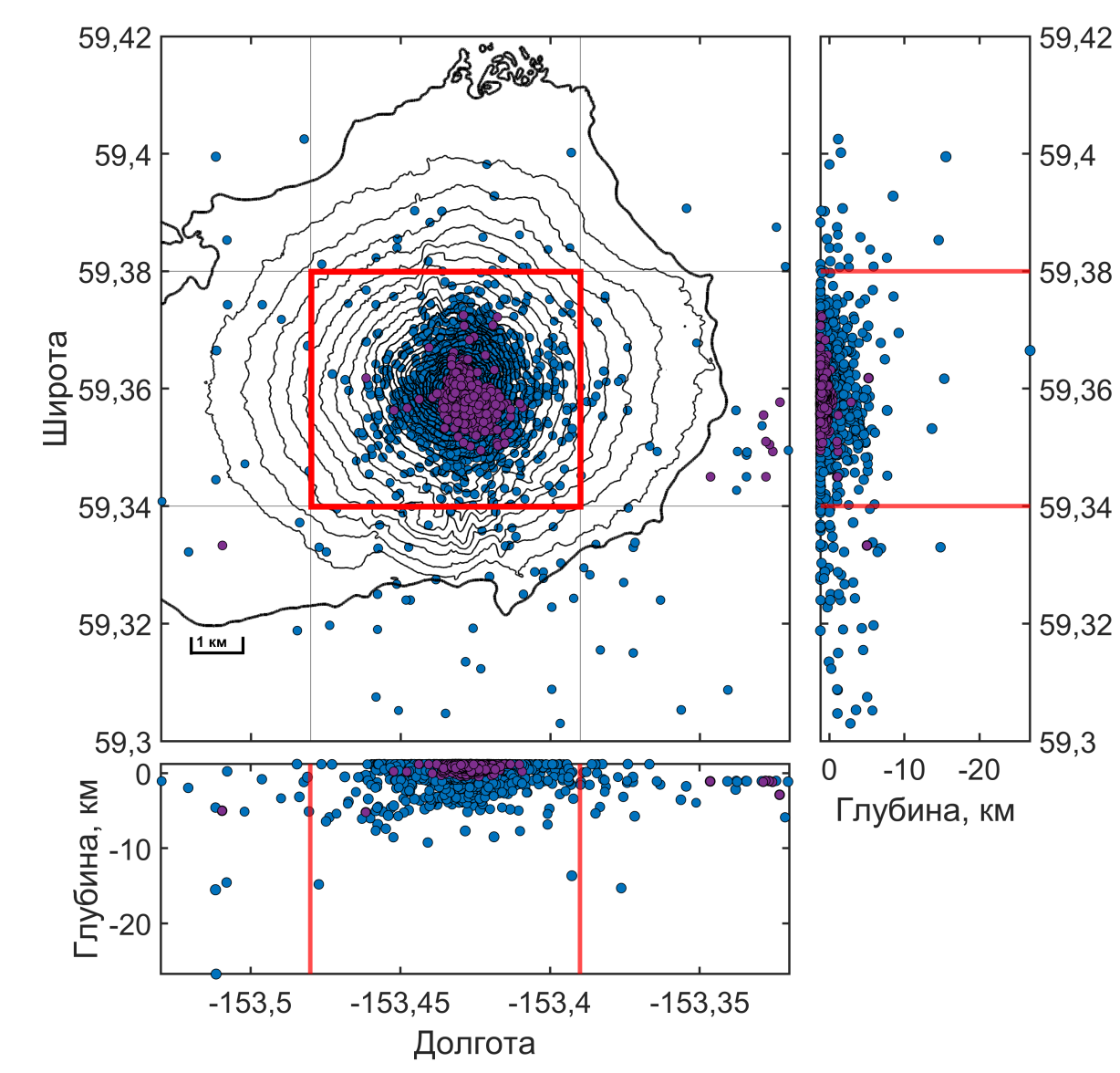


Работа выполнена за счёт средств гранта Российского научного фонда №25-17-00094 «Создание методики расчета зависящей от времени сейсмической опасности».

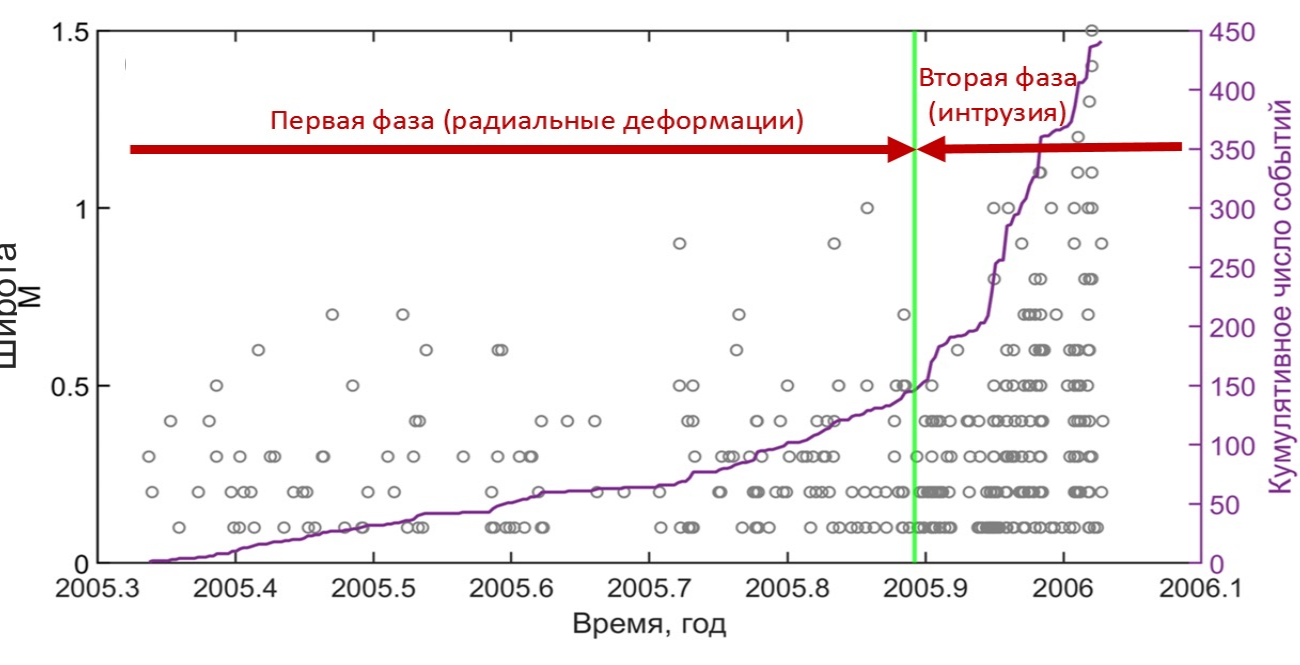
## Местоположение вулканов





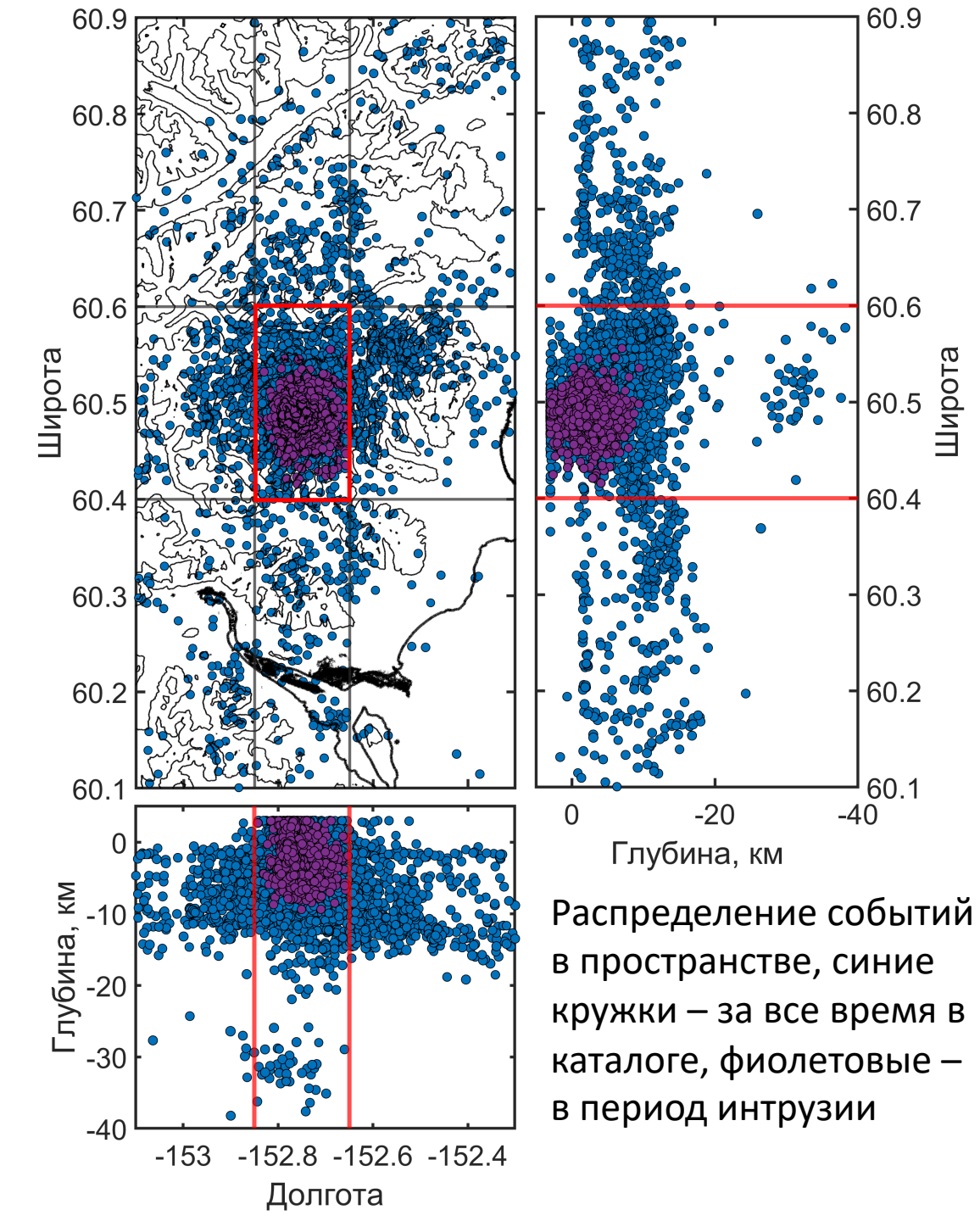
## Распределение событий в пространстве, синие кружки — за все время в каталоге, фиолетовые — в период интрузии

## Вулкан Августина

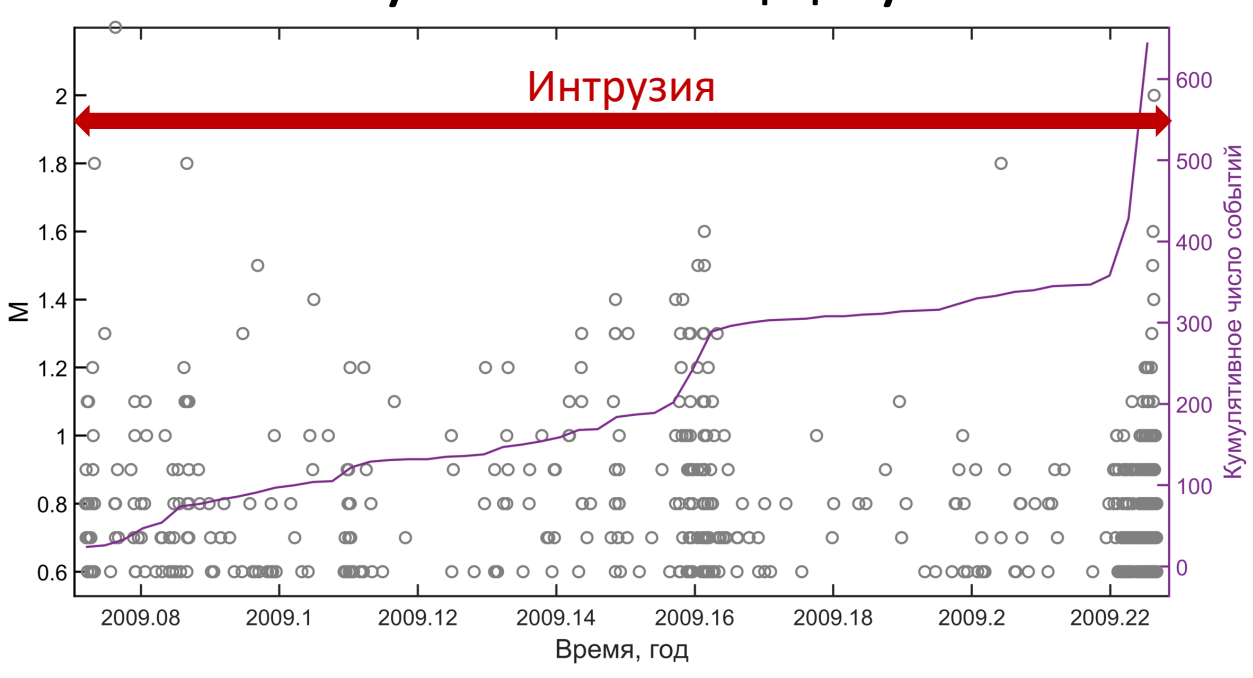


Распределение событий выше порога представительности времени ДЛЯ исследуемого участка. Кружки землетрясения, фиолетовая линия – кумулятивное число событий. Вертикальная линия соответствует дате 21.11.2005, разделяющей Стадии две фазы. ПО деформациям выделены в [Cervelli et al., 2006]

Используются данные сейсмического каталога вулканической обсерватории Аляски [Power et al., 2019]. Доступно по ссылке: https://pubs.usgs.gov/publication/sir20195037



## Вулкан Редаут

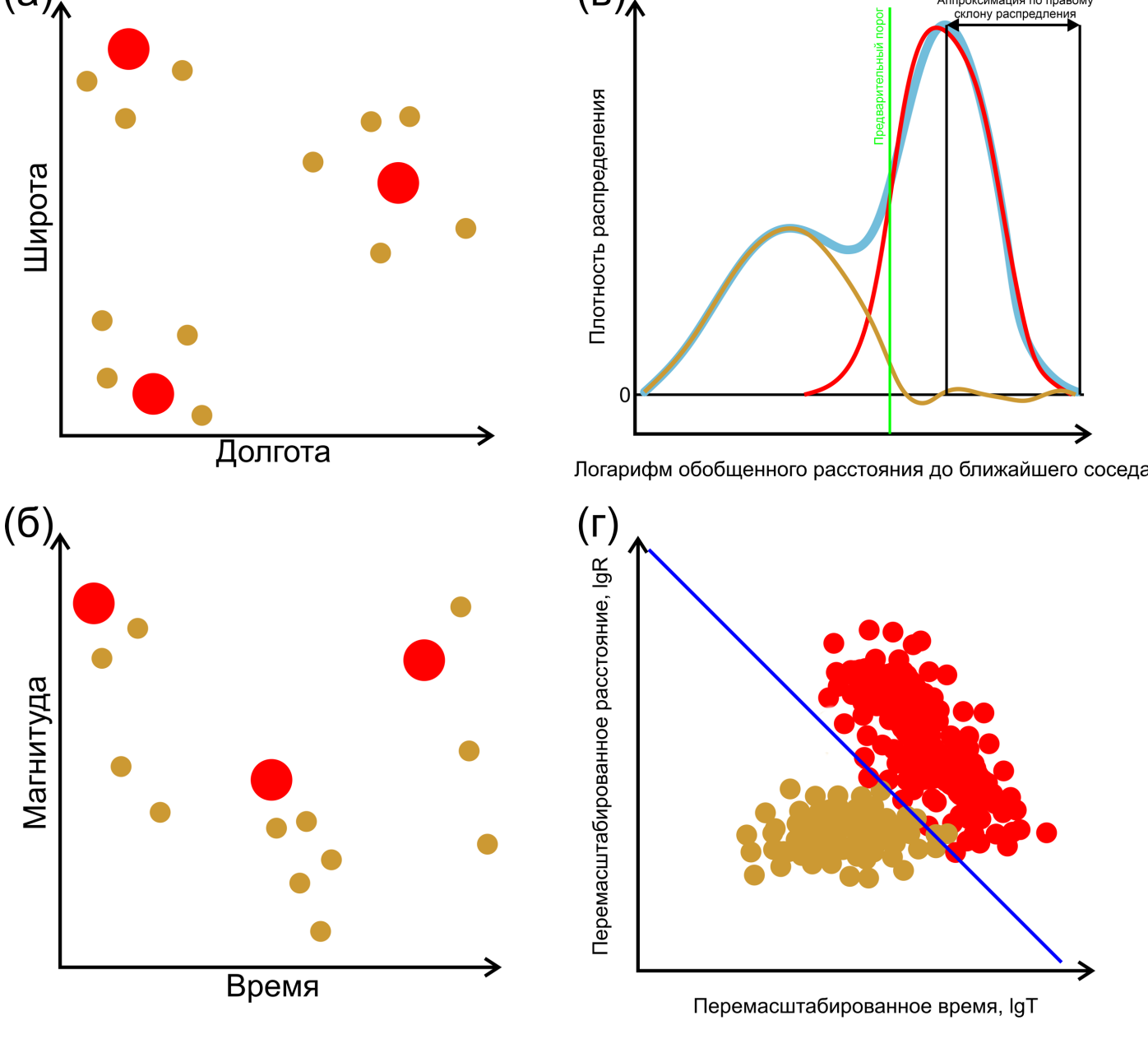


Распределение событий выше порога представительности во времени для исследуемого участка. Кружки — землетрясения, фиолетовая линия — кумулятивное число событий. Первые аномальные деформации поверхности зафиксированы в апреле-мае 2008 года. Период с этого момента до начала извержения связывают с глубинной интрузией под вулканом [Grapethin et al., 2013].

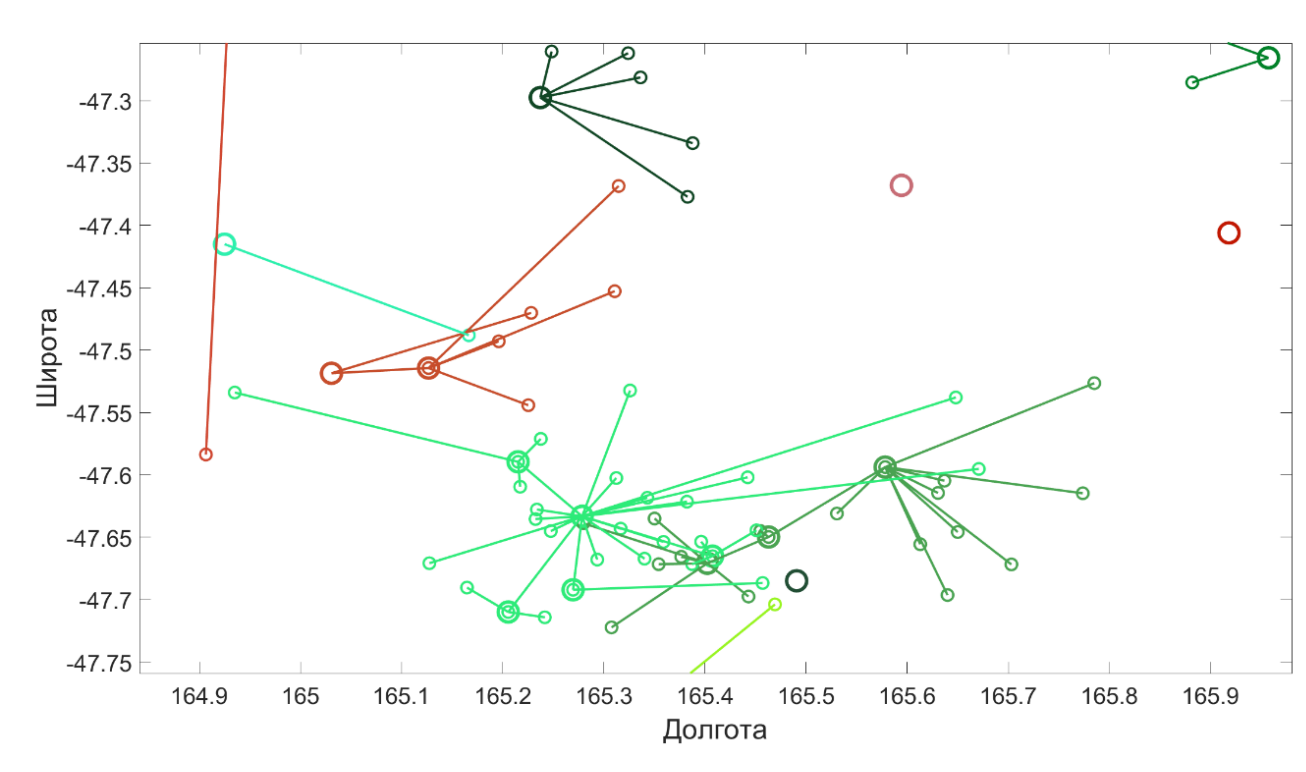
## Метод ближайшего соседа

Схематичная иллюстрация декластеризации методом ролижайшего соседа. Суть метода заключается во введении метрики в обобщенном пространстве координаты-времямагнитуда, которая позволяет устанавливать уровни статистической связанности между событиями и объединять их в кластеры.

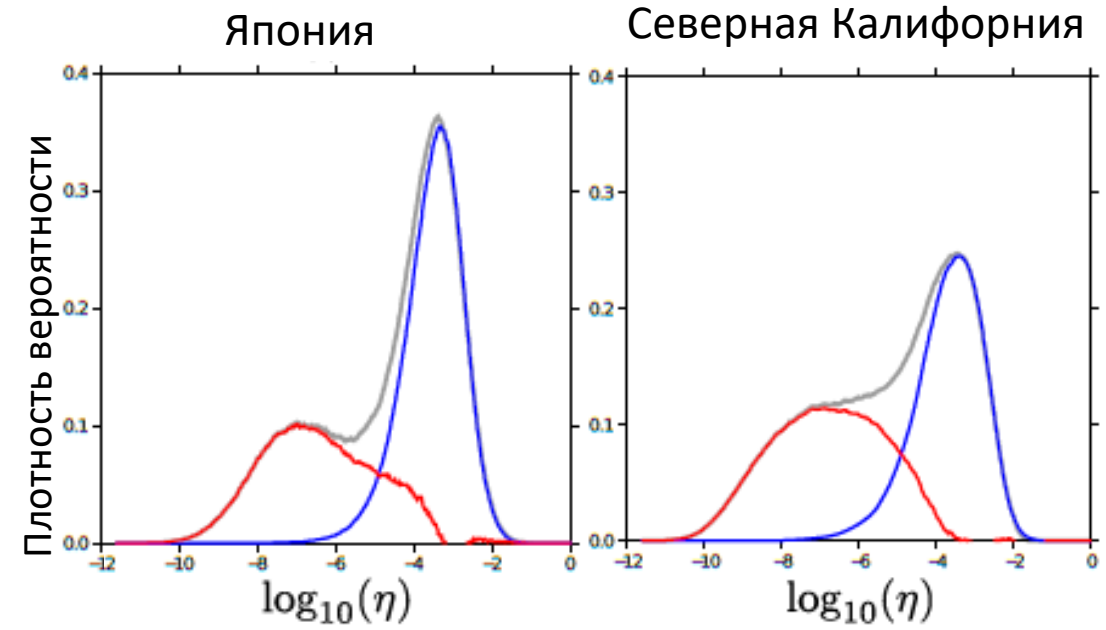
На рисунке справа схематично нарисованы три кластера событий. В каждом кластере ближайшим соседом для любого (б) желтого события будет либо красное событие, либо другое желтое из того же кластера. Но для красных событий ближайшим соседом будет желтое событие из другого кластера (обратим внимание, что соседом какого-либо события может быть только событие, произошедшее раньше него по времени). Понятно, что обобщенные расстояния до ближайшего соседа для красных событий окажутся в среднем больше, чем для желтых. Поэтому на распределении обобщенных расстояний до ближайшего соседа эти два класса расстояний сформируют две моды (рис. (в)). Именно такая ситуация обычно наблюдается в тектонической сейсмичности, где события с меньшими обобщенными расстояниями представлены афтершоками.



#### Методы



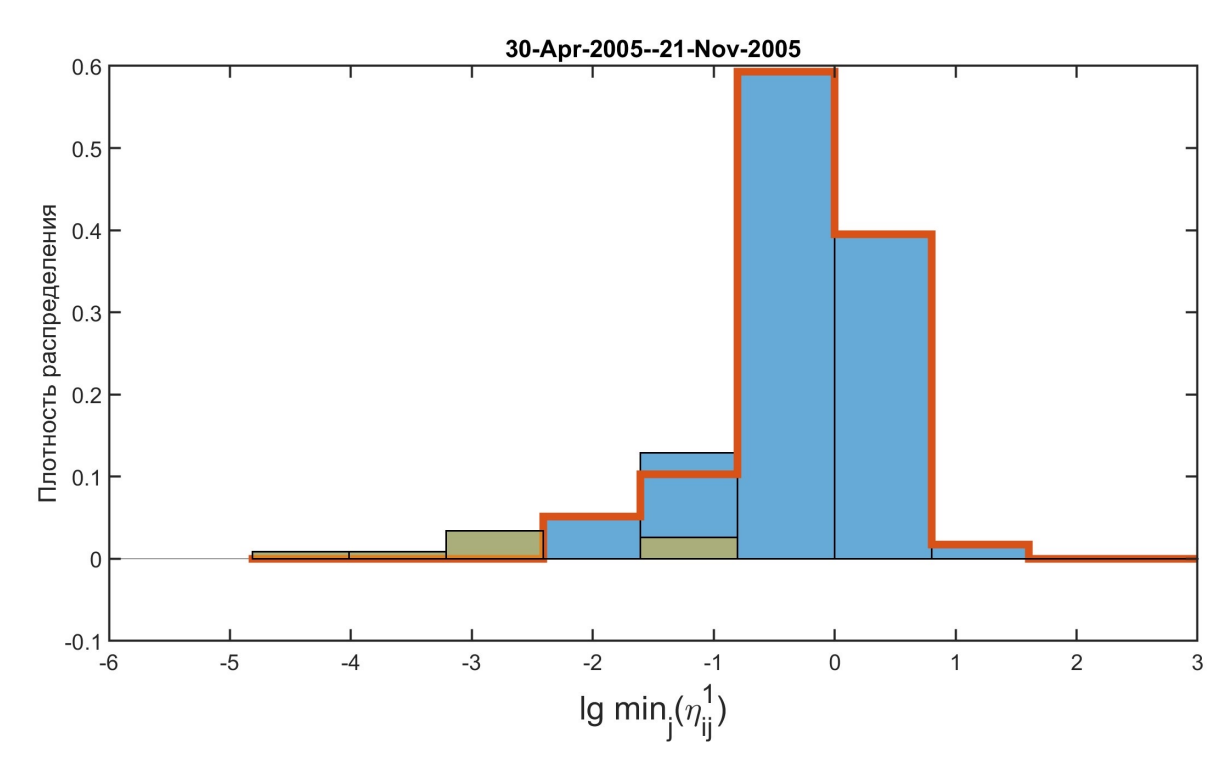
Пример выделенных кластеров из каталога Новой Зеландии. Большие кружки — событиятриггеры (мейншоки), маленькие — событияпотомки, двойной кружок означает, что событие является одновременно триггером одного события и потомком другого.



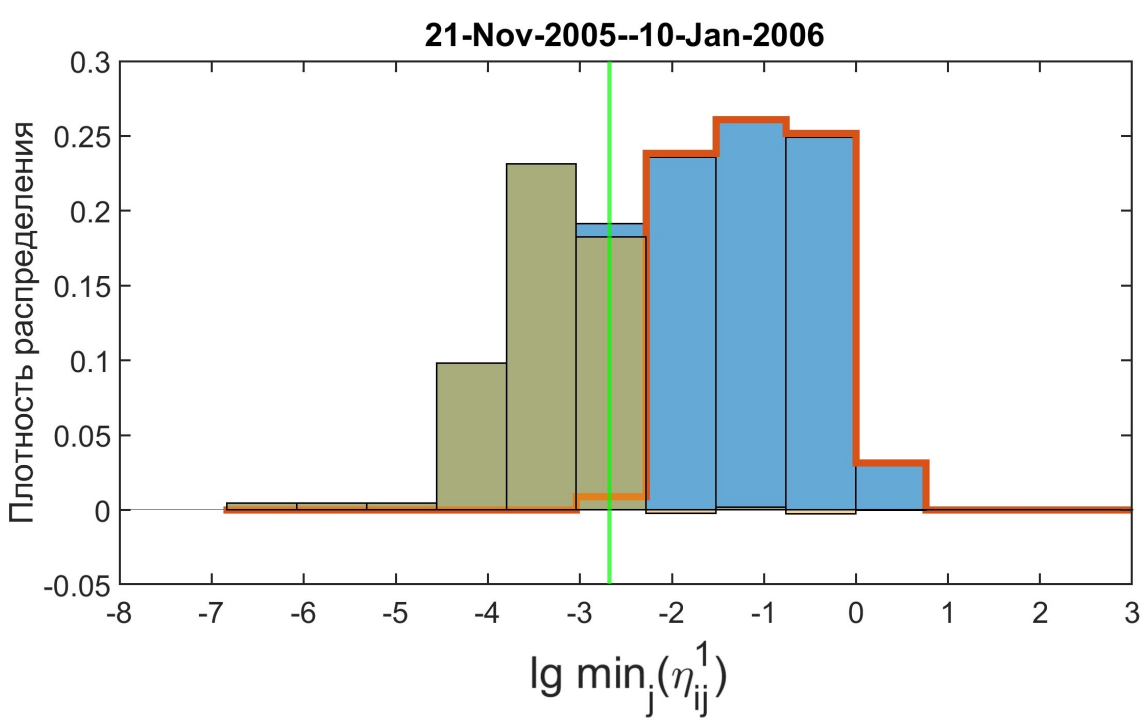
Распределения обобщённых расстояний до ближайшего соседа (η), серая линия — реальное распределение, синяя линия — фоновый пик, красная линия — кластеризованный пик. Из работы [Shebalin, Narteau, Baranov, 2020]. Метод разработан в [Zaliapin, Ben-Zion, 2013].

# Декомпозиция без учета пространственного расстояния для вулкана Августина

$$\eta_{ij}^{1} = \begin{cases} t_{ij} 10^{-cm_i}, & t_{ij} > 0 \\ +\infty, & t_{ij} \le 0 \end{cases}$$
, [Frohlich, Davis, 1990]



Для первой фазы длинного роя (радиальные деформации)

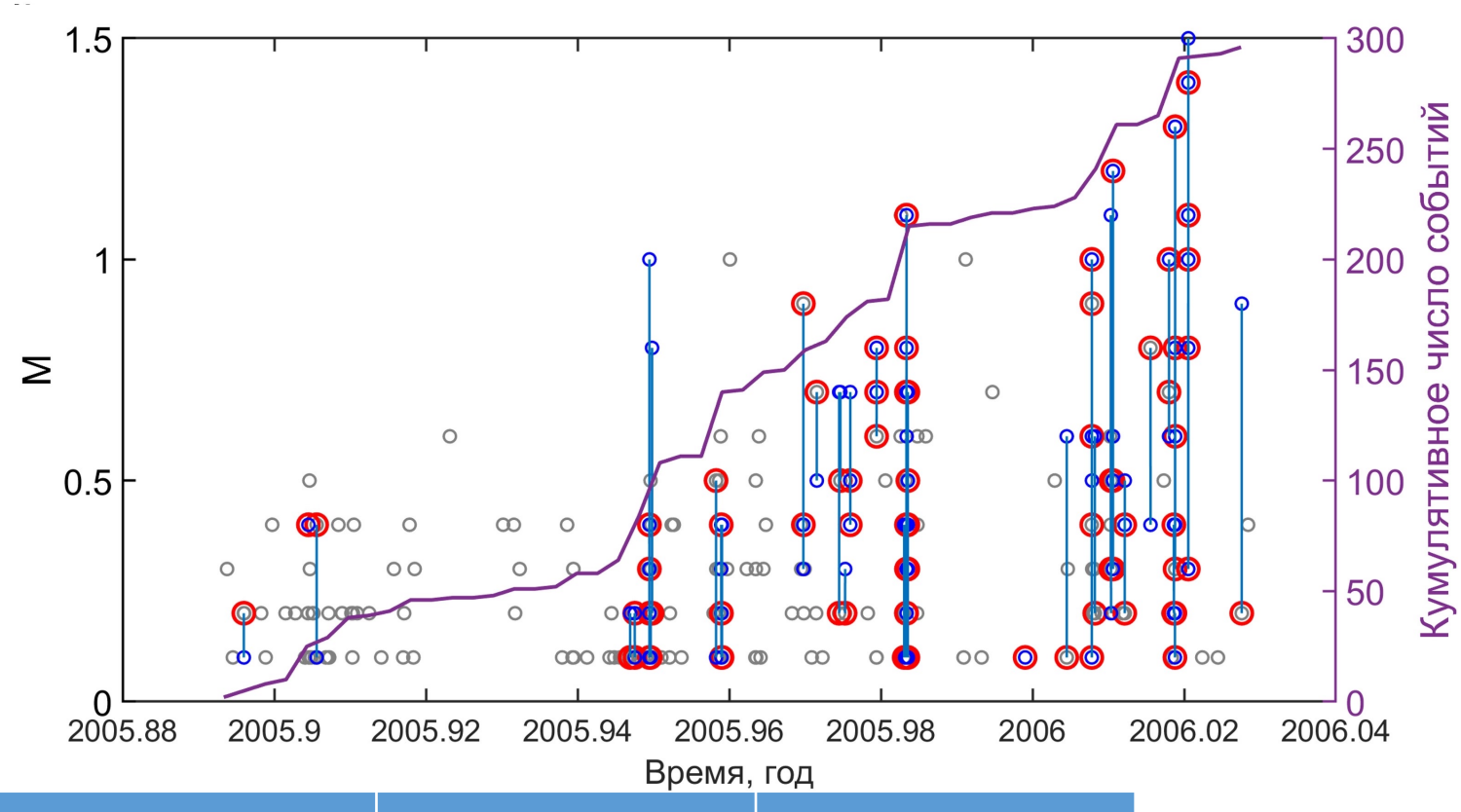


Для второй фазы (период интрузии)

Выделенные кластеры во время интрузии перед извержением вулкана

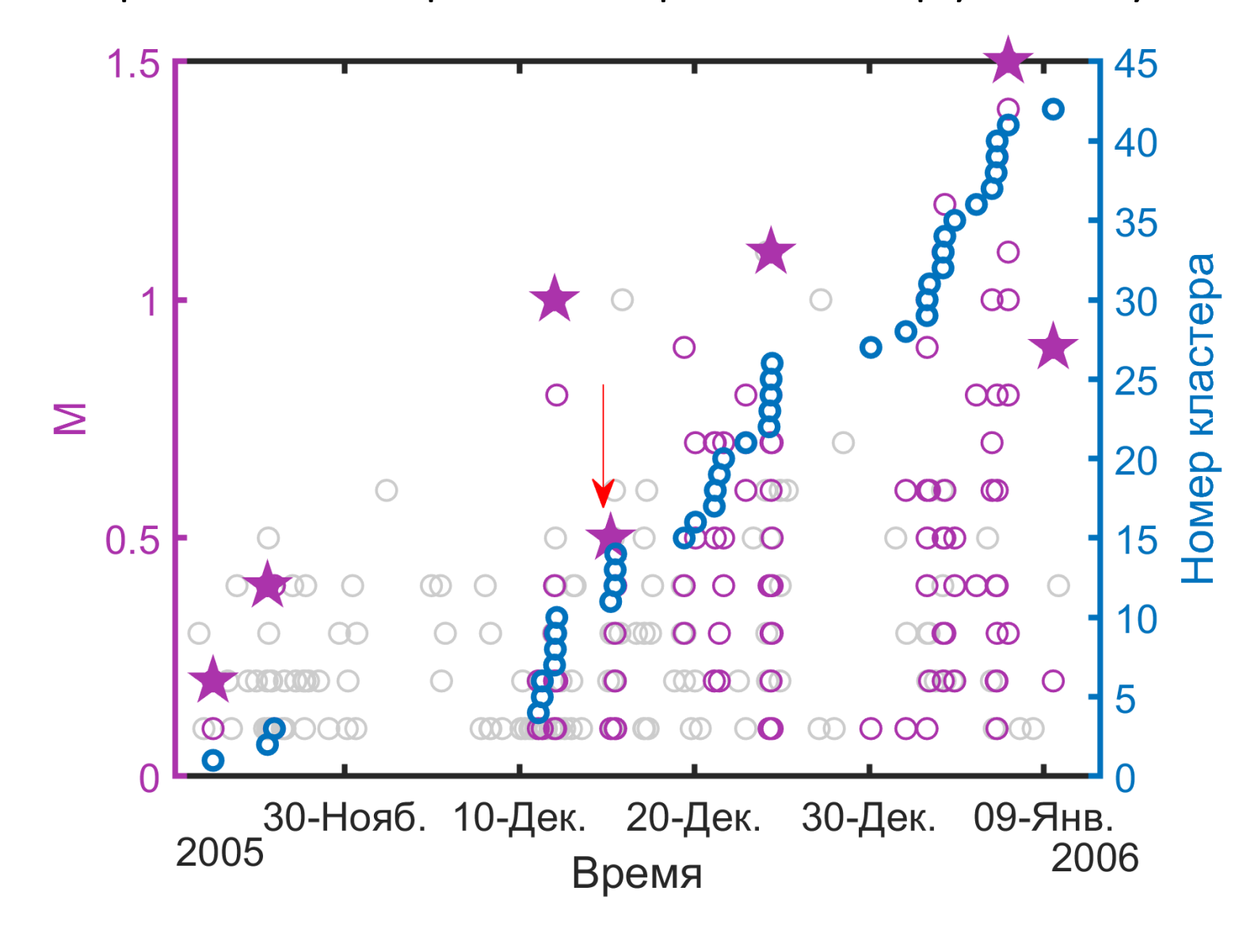
Августина 2006-го года

Серые кружки независимые события (функция близости относительно ближайшего соседа больше порога), синие – связанные события (функция близости меньше порога); обведены красным события, у которых есть «потомки» (то есть связанные с ним события); СИНИМИ линиями показаны связи между событиями в кластерах



	b	$M_{max}$	$\overline{M}$
Первая фаза	1.82	1	0.2766
Вторая фаза Кластеризованные	0.99	1.5	0.4401
Вторая фаза Несвязанные	1.91	1.1	0.2726

#### Серии кластеров во время интрузии вулкана Августин



Синие кружки показывают момент времени, когда произошел кластер.

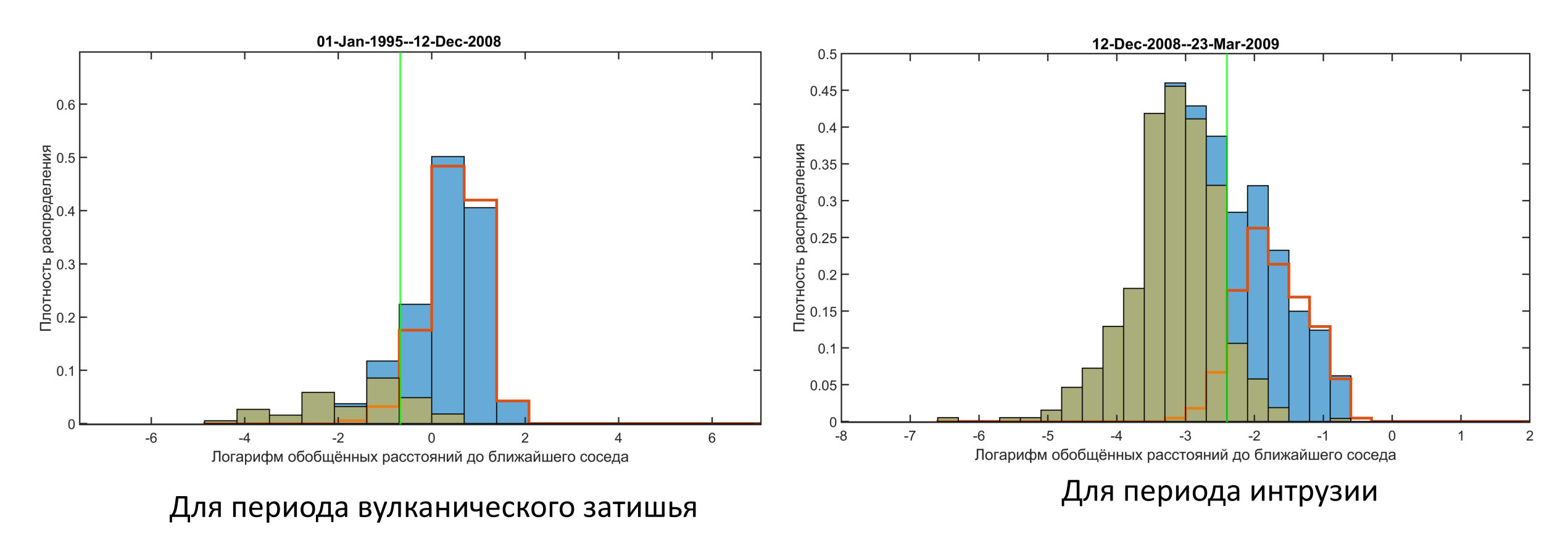
Фиолетовые кружки — события, входящие в кластер, фиолетовые звезды — сильнейшие события в сериях кластеров.

Серые кружки – события, не входящие в кластеры.

Красной стрелкой отмечена серия, выпадающая из общей закономерности.

# Декомпозиция без учета пространственного расстояния для вулкана Редаут

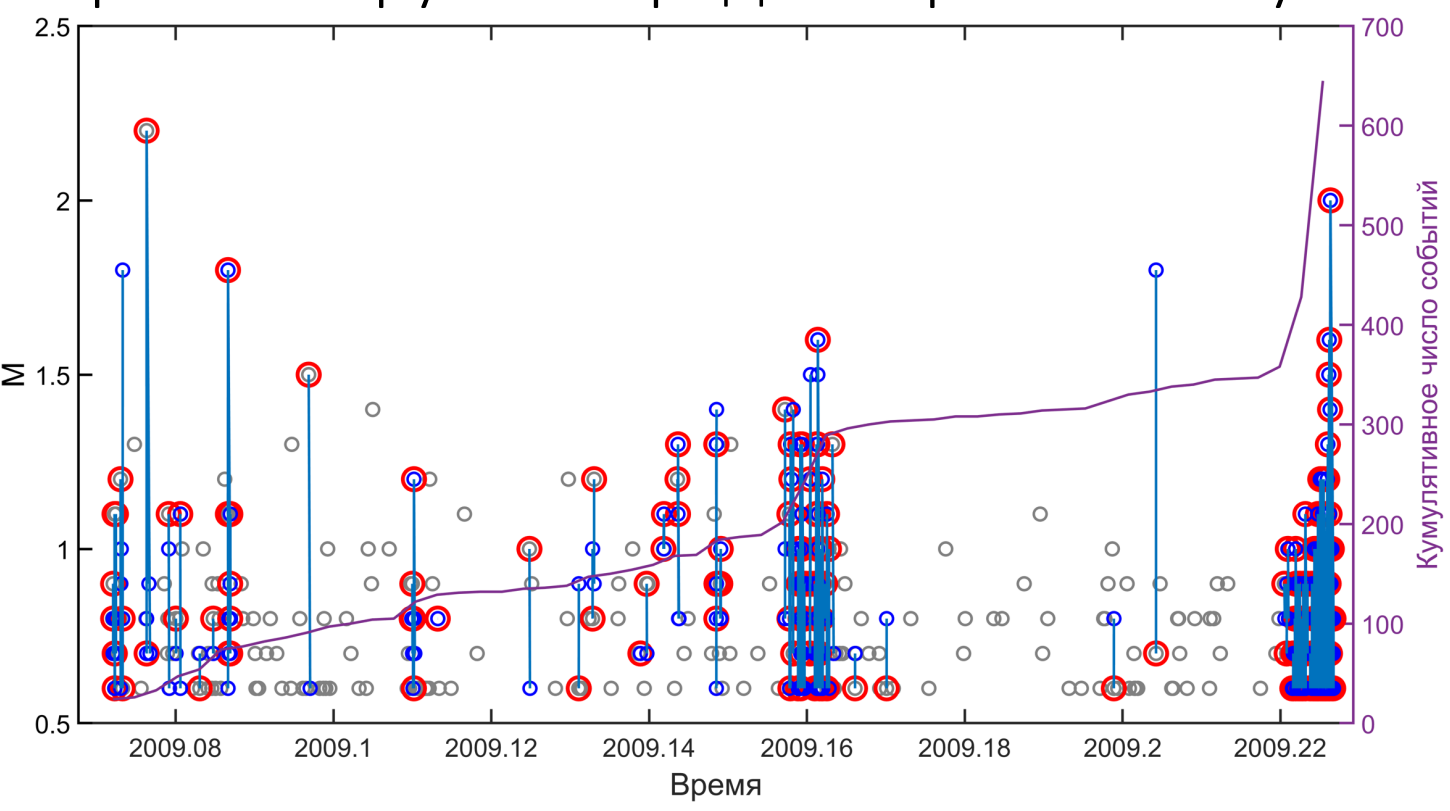
$$\eta_{ij}^{1} = \begin{cases} t_{ij} 10^{-cm_i}, & t_{ij} > 0 \\ +\infty, & t_{ij} \le 0 \end{cases}$$
, [Frohlich, Davis, 1990]



Выделенные кластеры во время интрузии перед извержением вулкана

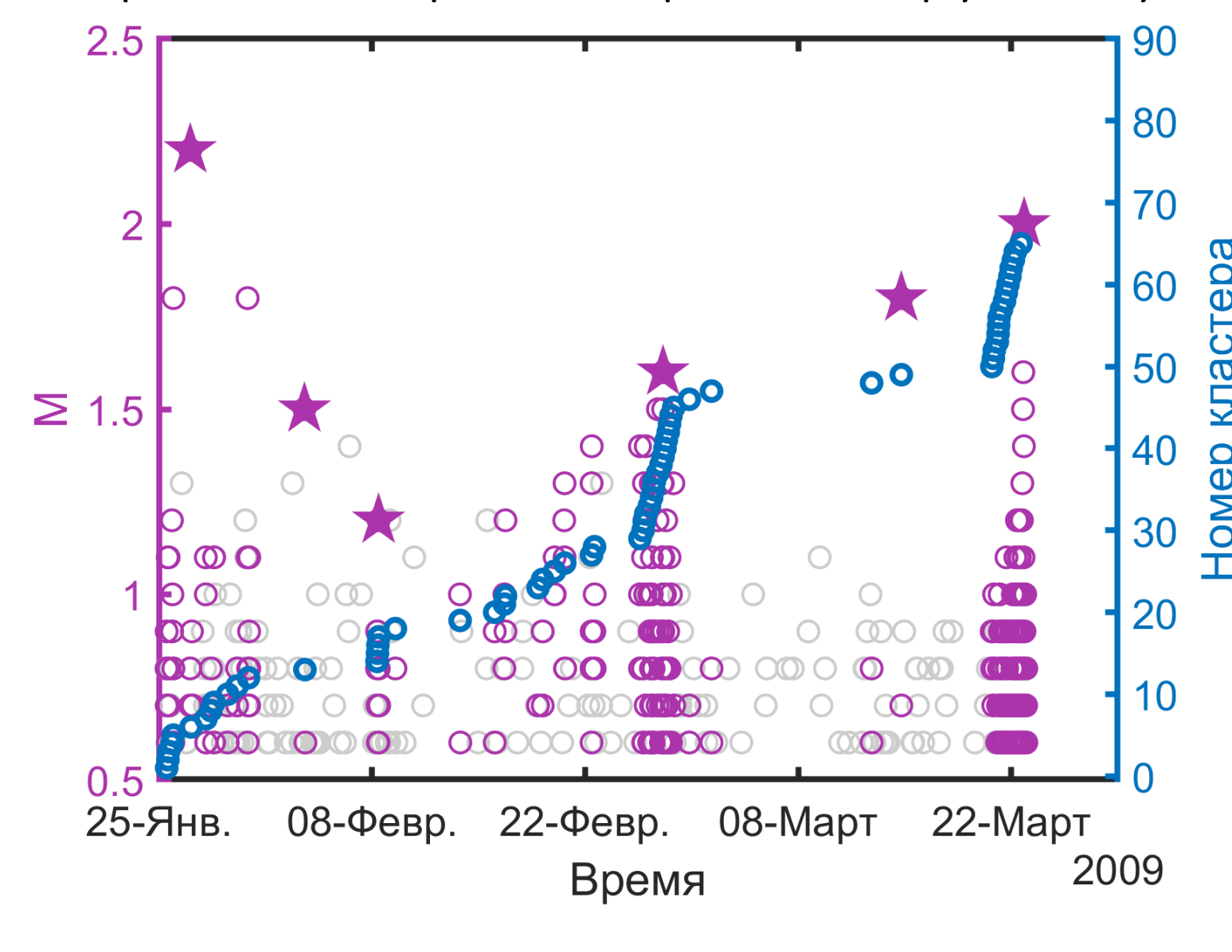
Августина 2006-го года

Серые кружки независимые события (функция близости относительно ближайшего соседа больше порога), синие — связанные ≥ 1.5 события (функция близости меньше порога); обведены красным события, у которых есть «потомки» (то есть связанные с ним события); СИНИМИ линиями показаны связи между событиями в кластерах



	b	$M_{max}$	$\overline{M}$
Период интрузии Кластеризованные	1.767	2.2	0.7975
Период интрузии Несвязанные	1.984	1.4	0.7577

#### Серии кластеров во время интрузии вулкана Редаут



Синие кружки показывают момент времени, когда произошел кластер.

Фиолетовые кружки — события, входящие в кластер, фиолетовые звезды — сильнейшие события в сериях кластеров.

Серые кружки – события, не входящие в кластеры.

Красной стрелкой отмечена серия, выпадающая из общей закономерности.

#### Выводы

- 1) Режимы сейсмичности, наблюдающиеся во время интрузий перед двумя извержениями, возможно декластеризовать, разделив на две компоненты. Причем режимы сейсмичностей этих двух компонент значительно отличаются по основным параметрам.
- 2) Предположительно, первая компонента связана с откликом на относительно глобальное повышение давления под вулканом (инфляцию магматической камеры), этот режим имеет более высокое значение параметра наклона магнитудно-частотного распределения, относительно низкие магнитуды событий и в нем практически полностью отсутствует кластеризация событий.
- 3) Вторая компонента, видимо, связана с более локальным разрушением горных пород при внедрении магмы в дайку. События в этом режиме имеют более низкое значение параметра наклона магнитудно-частотного распределения, большие магнитуды, а сами также кластеризуются в серии, в большинстве случаев, оканчивающиеся сильнейшим событием с последующим затишьем.

#### Список источников

- 1) Малютин П.А. Воздействие флюидных режимов на вариации продуктивности землетрясений по данным натурных экспериментов // Проблемы комплексного геофизического мониторинга сейсмоактивных регионов // Труды Девятой Всероссийской научно-технической конференции с международным участием 24—30 сентября 2023 г. Петропавловск-Камчатский, 2023. С. 156—162.
- 2) Zaliapin I., Ben-Zion Y. Earthquake clusters in southern California I: Identification and stability // Journal of Geophysical Research: Solid Earth. 2013. V. 118. P. 2847–2864, DOI: 10.1002/jgrb.50179
- 3) Shebalin, Peter & Narteau, Clement & Baranov, Sergey. (2020). Earthquake productivity law. Geophysical Journal International. 222. 1264-1269. 10.1093/gji/ggaa252.
- 4) Baiesi, Marco & Paczuski, Maya. (2004). Scale-free networks of earthquakes and aftershocks. Phys. Physical review. E, Statistical, nonlinear, and soft matter physics. 69. 066106. 10.1103/PhysRevE.69.066106.
- 5) Баранов С.В., Жукова С.А., Корчак П.А., Шебалин П.Н. Продуктивность техногенной сейсмичности // Физика Земли. 2020. С. 40-51. DOI: 10.31857/S0002333720030011.
- 6) Маточкина С.Д., Шебалин П. Н., Смирнов В. Б., Пономарев А. В., Малютин П. А. Параметры группирования событий акустической эмиссии в лабораторных экспериментах по разрушению горных пород // Физика Земли. 2024. №5.
- 7) Cervelli P. F., Fournier T., Freymueller J., Power J. A. Ground deformation associated with the precursory unrest and early phases of the January 2006 eruption of Augustine Volcano, Alaska // Geophysical Research Letters. 2006. 33. L18304. DOI:10.1029/2006GL027219Grapethin R., J. Freymueller, A. M. Kaufman, 2013. Geodetic observation during the 2009 eruption at Redoubt volcano, J. Volc. Geotherm. Res., 259, 115-132
- Zhan, Y., Roman, D. C., Le Mével, H., & Power, J. A. (2022). Earthquakes indicated stress field change during the 2006 unrest of Augustine Volcano, Alaska. *Geophysical Research Letters*, 49, e2022GL097958. https://doi.org/10.1029/2022GL097958
- *Power J.A., Friberg P.A., Haney M.M., Parker T., Stihler S.D., Dixon J.P.* A unified catalog of earthquake hypocenters and magnitudes at volcanoes in Alaska—1989 to 2018 // U.S. Geological Survey Scientific Investigations Report. 2019, 2019–5037, 17 p., DOI: <a href="https://doi.org/10.3133/sir20195037">https://doi.org/10.3133/sir20195037</a>. Available at: <a href="https://pubs.usgs.gov/publication/sir20195037">https://doi.org/10.3133/sir20195037</a>.
- 10) Frohlich C., Davis S.D. Single-link cluster analysis as a method to evaluate spatial and temporal properties of earthquake catalogues // Geophysical Journal International. 1990. V. 100. P. 19-32. DOI: https://doi.org/10.1111/j.1365-246X.1990.tb04564.x

Вулкан Августина

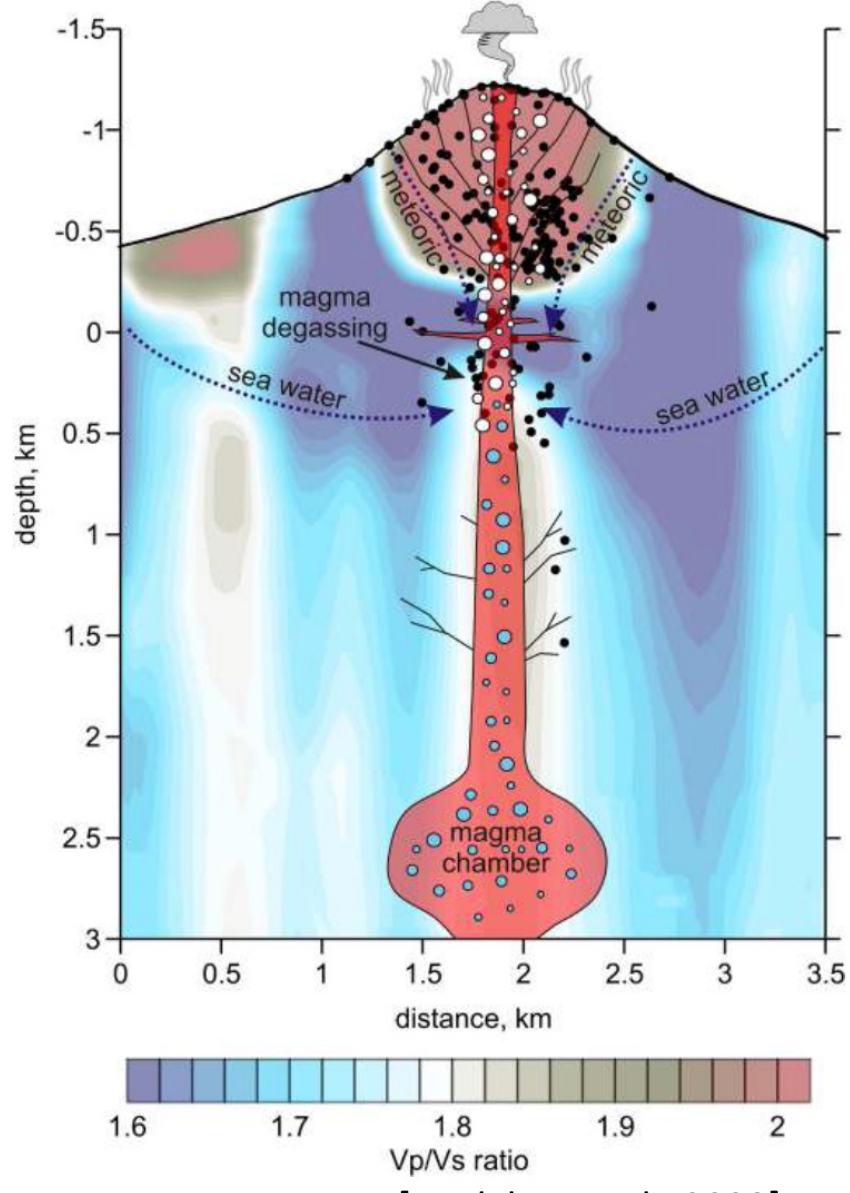
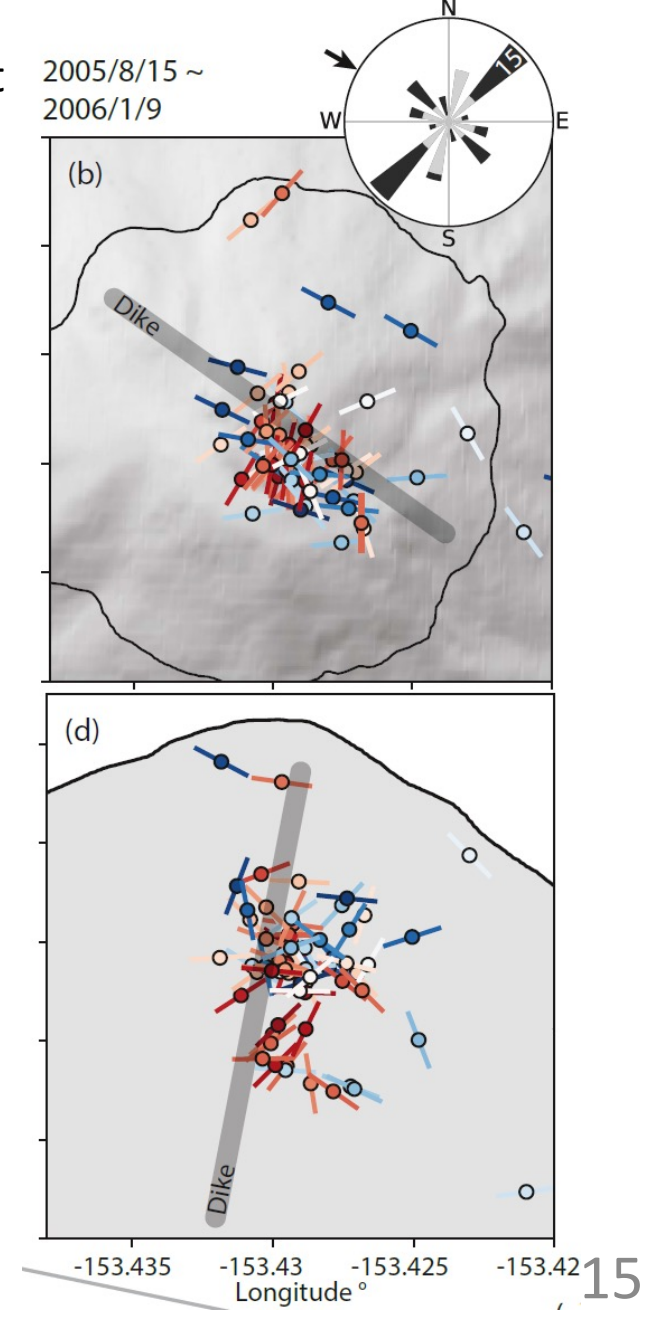
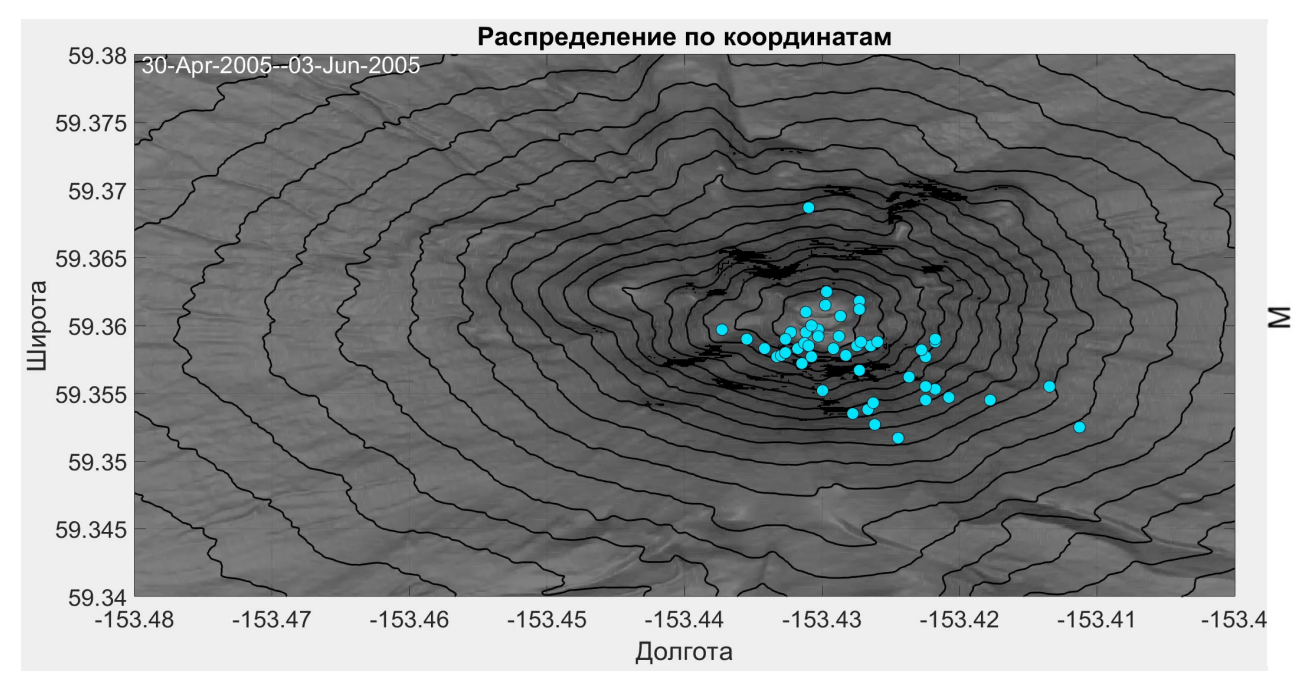


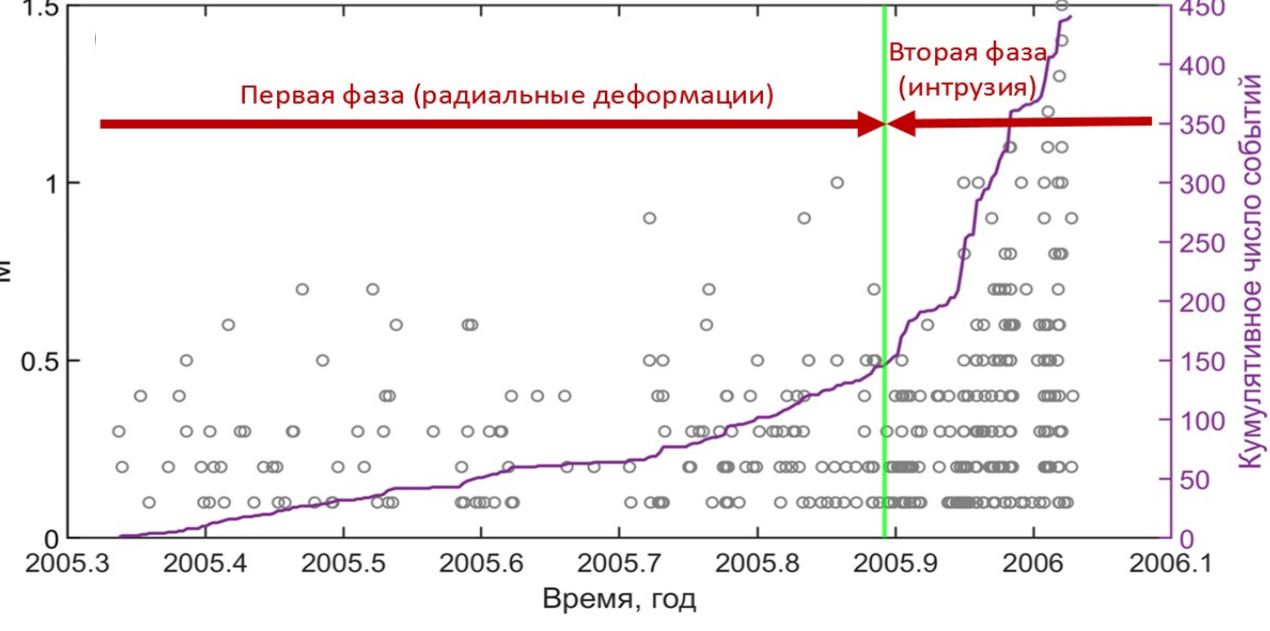
Иллюстрация из [Koulakov et al., 2023]. Схематичное устройство вулкана Августина.

Иллюстрация из [Zhan et al., 2022]. Примерное местоположение дайки во время извержения 2006-го года вулкана Августина



### Данные





Анимация распределения событий в пространстве для исследуемого в работе участка. Все события сконцентрированы под вулканической постройкой на глубинах около 5-10 км.

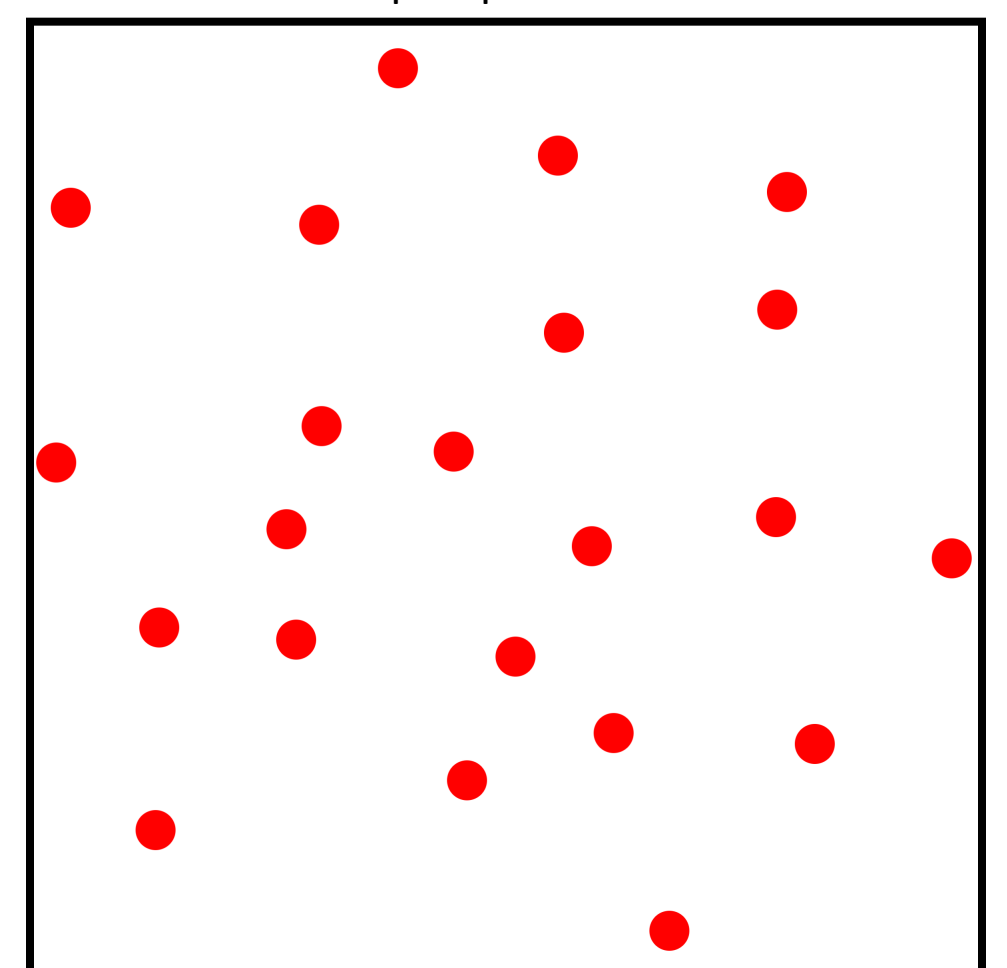
Распределение событий выше порога представительности во времени для исследуемого участка. Кружки — землетрясения, фиолетовая линия — кумулятивное число событий. Вертикальная линия соответствует дате 21.11.2005, разделяющей две фазы длинного роя

Используются данные сейсмического каталога вулканической обсерватории Аляски [Power et al., 2019]. Доступно по ссылке: https://pubs.usgs.gov/publication/sir20195037

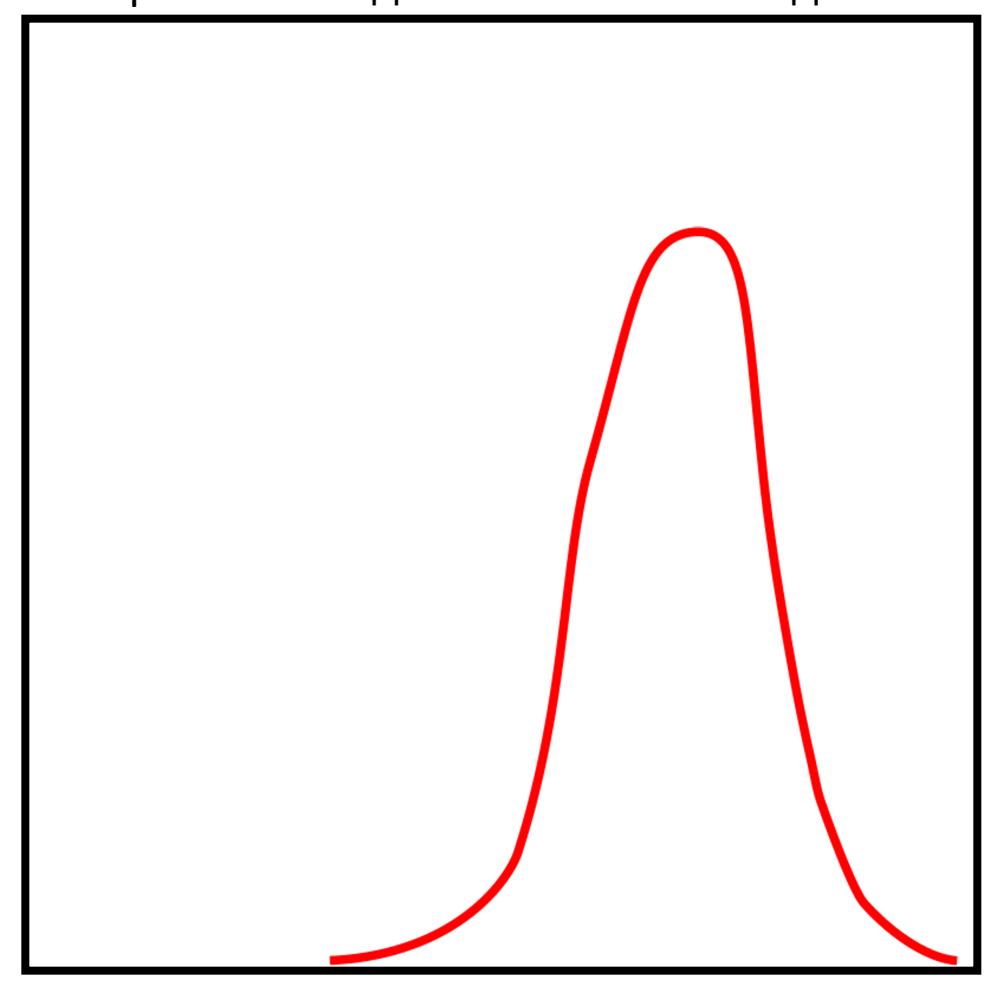
Сейсмические рои были выделены в работе [Jacobs, Mcnutt, 2010]

#### Методы

Условное распределение событий в пространстве



Условное распределение обобщенных расстояний до ближайшего соседа



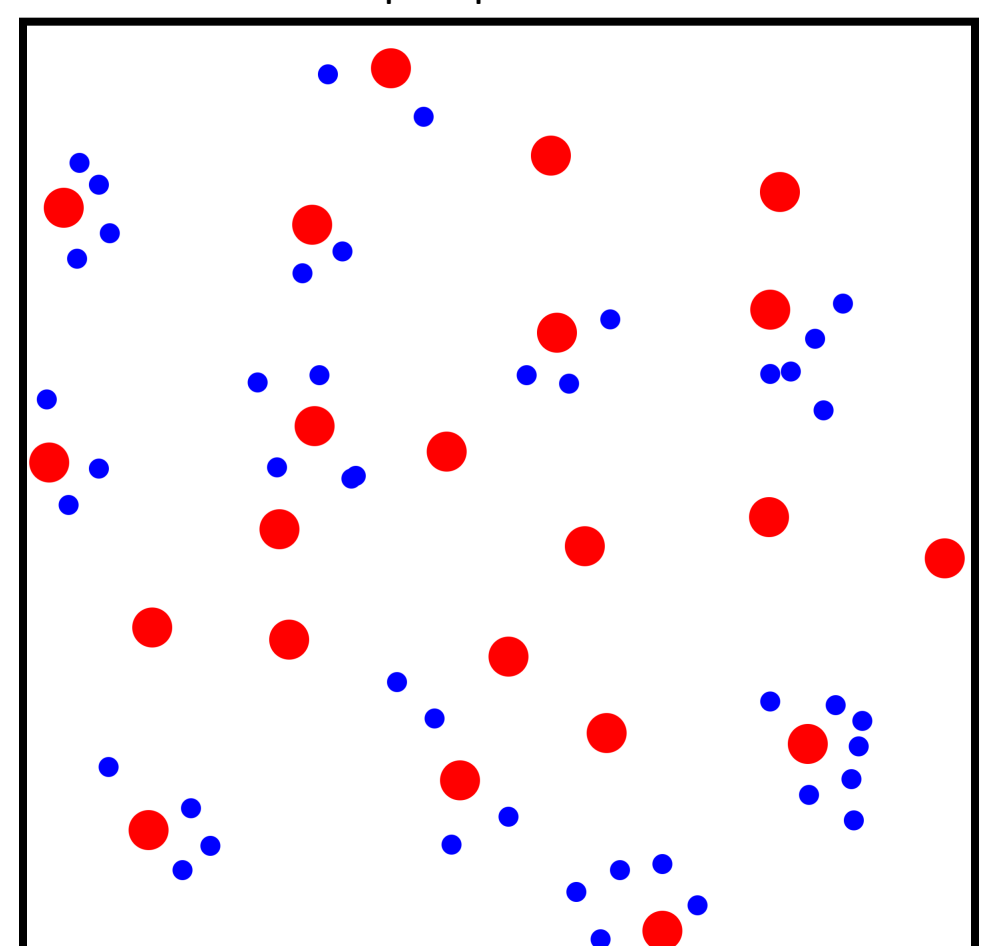
В качестве функции близости выбирается выражение [Baiesi, Paczuski, 2004]:

$$\eta_{ij} = \begin{cases} t_{ij} r_{ij}^{d_f} 10^{-bm_i}, t_{ij} > 0 \\ +\infty, & t_{ij} \le 0 \end{cases}$$

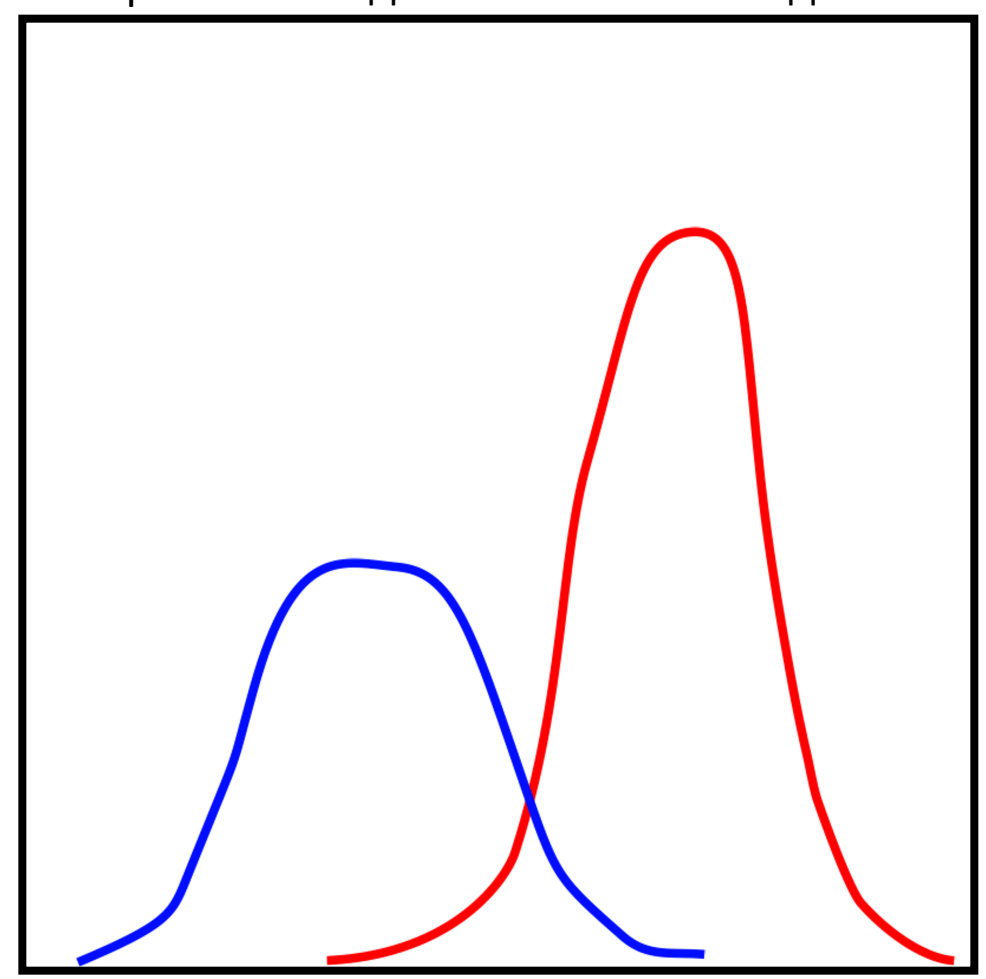
 $\eta_{ij} = egin{cases} t_{ij} r_{ij}^{d_f} 10^{-bm_i}, t_{ij} > 0 & t_{ij} - \text{ время между событиями } i \text{ и } j, r_{ij} - \text{ пространственное расстояние между ними, } m_i - marhutyда события } i. b - параметр закона Гутенберга-Рихтера; <math>df$  - фрактальная размерность распределения гипоцентров или эпицентров землетрясений.

#### Методы

Условное распределение событий в пространстве



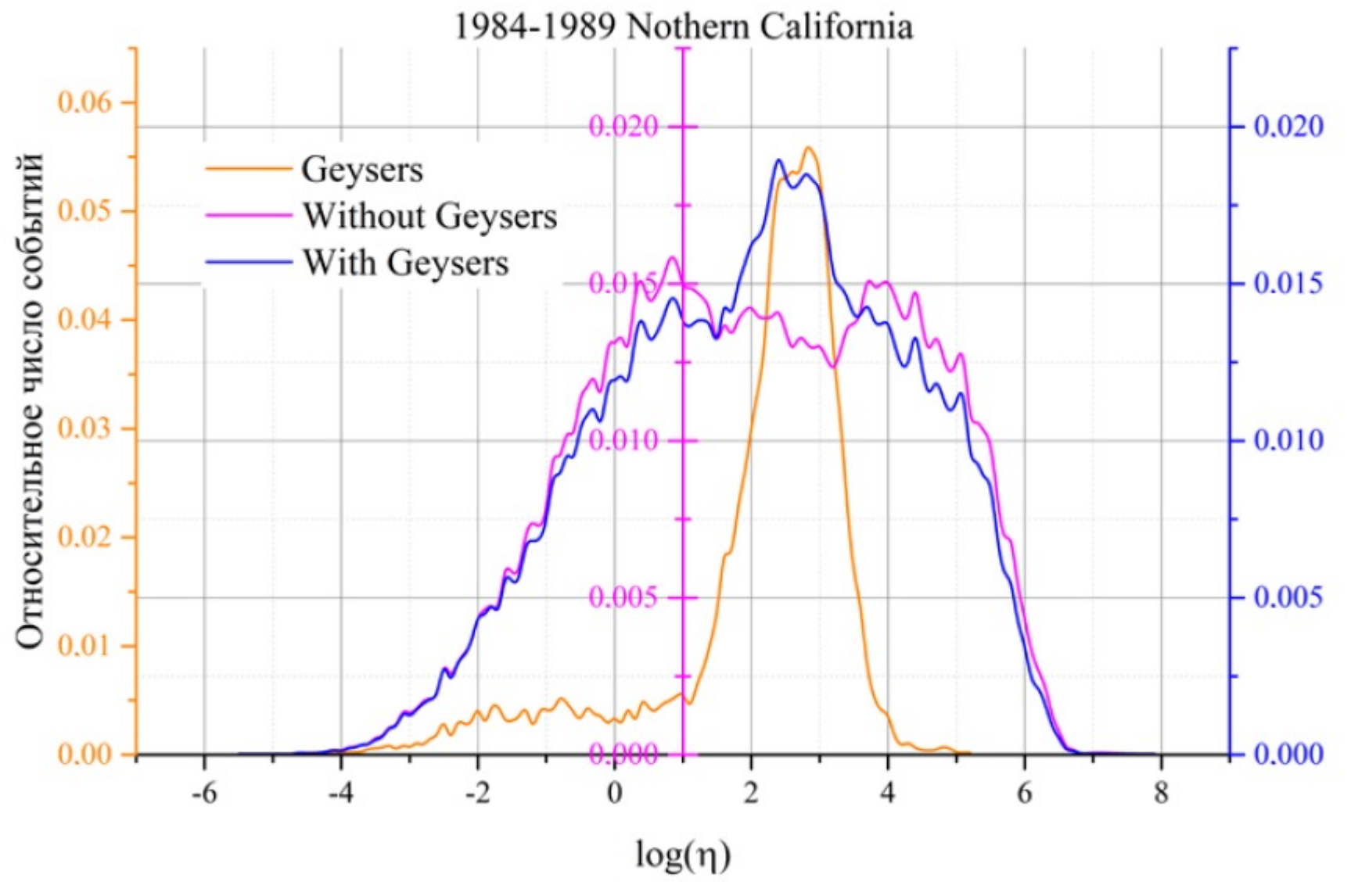
Условное распределение обобщенных расстояний до ближайшего соседа



В качестве функции близости выбирается выражение [Baiesi, Paczuski, 2004]:

$$\eta_{ij} = \begin{cases} t_{ij} r_{ij}^{d_f} 10^{-bm_i}, t_{ij} > 0 \\ +\infty, & t_{ij} \le 0 \end{cases}$$

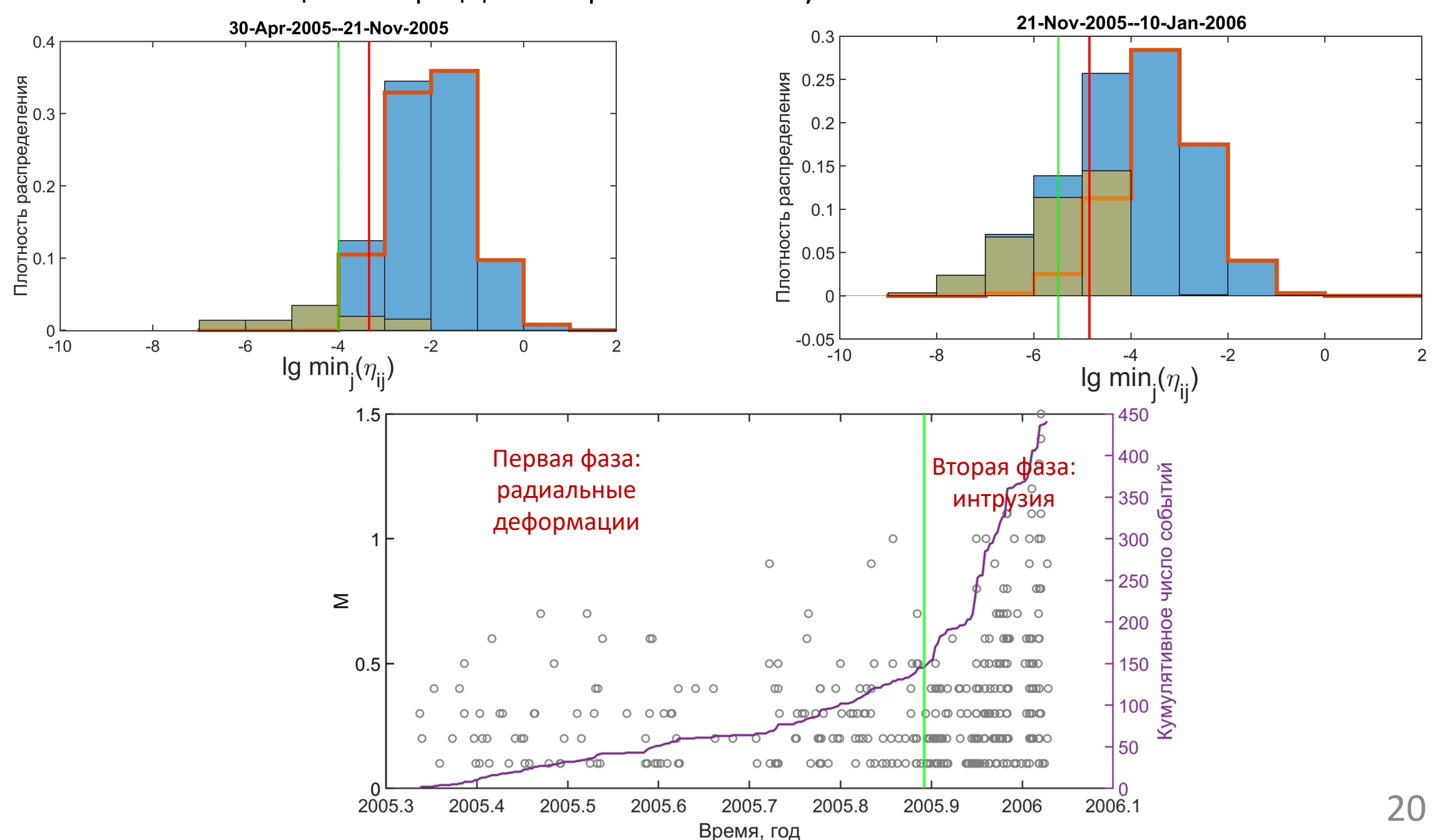
 $\eta_{ij} = egin{cases} t_{ij} r_{ij}^{d_f} 10^{-bm_i}, t_{ij} > 0 & t_{ij} - \text{время между событиями } i \text{ и } j, r_{ij} - \text{пространственное расстояние между ними, } m_i - t_{ij} + \infty, & t_{ij} \leq 0 & t_{ij} - \text{время между события } i. \ b - \text{параметр закона Гутенберга-Рихтера; } df - \text{фрактальная размерность распределения гипоцентров или эпицентров землетрясений.} \end{cases}$ 



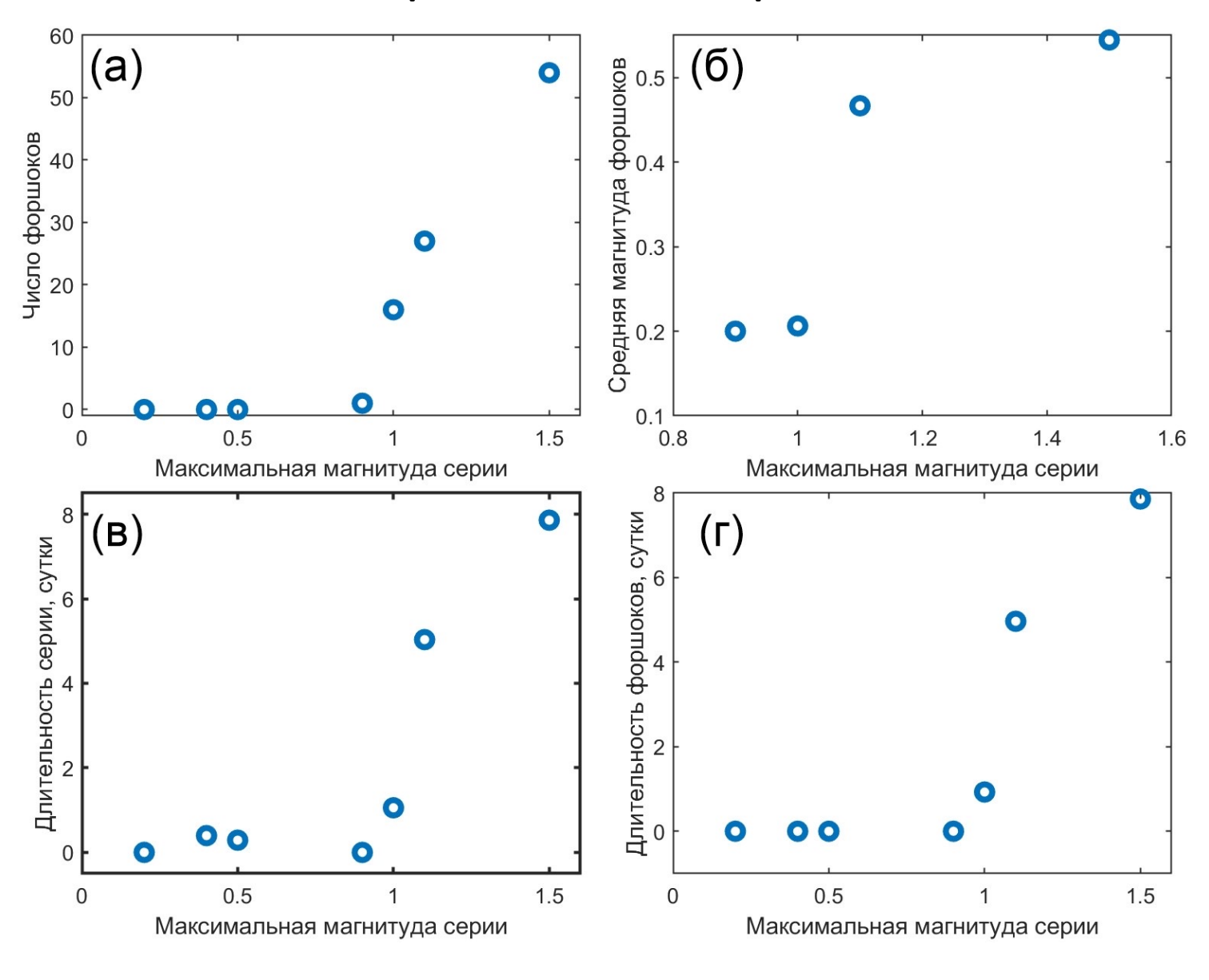
Распределение расстояния до ближайшего соседа для трёх различных каталогов в 1984-1989 годах: всей Северной Калифорнии (синий), Северной Калифорнии без Гейзеров (фиолетовый), Гейзеров (оранжевый) из [Малютин, 2023]

19

#### Фазы активизации перед извержением вулкана



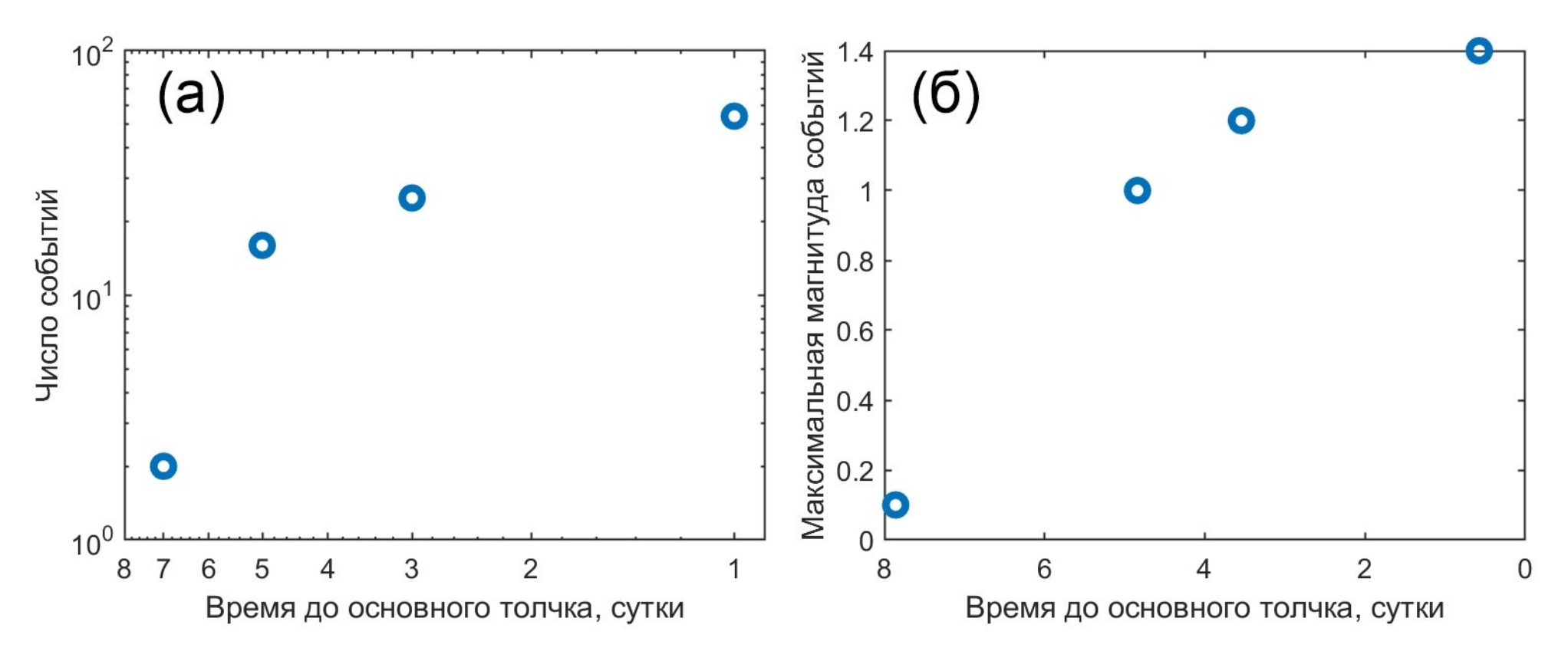
### Закономерности серий



Зависимости от магнитуды сильнейшего события в серии:

- (а) числа форшоков серии,
- (б) средней магнитуды форшоков,
- (в) общей длительности серии (от первого форшока до последнего афтершока),
- (г) длительности форшоков (от первого форшока до основного толчка)

## Закономерности серий



Зависимости от времени до основного толчка: (a) — числа форшоков (построено по совокупности трёх самых длинных серий), (б) — максимальной магнитуды форшоков (построено только по самой длинной серии). В обоих случаях использовалось окно шириной двое суток.